

УДК 621.391.7

М.И. Мазурков, д-р техн. наук, проф.,  
А.В. Соколов, бакалавр,  
Одес. нац. политехн. ун-т

## МЕТОДЫ СИНТЕЗА ДВОИЧНЫХ ПСЕВДОСЛУЧАЙНЫХ ПОСЛЕДОВАТЕЛЬНОСТЕЙ СО СВОЙСТВОМ $k$ -ГРАММНОГО РАСПРЕДЕЛЕНИЯ ДЛЯ ЗАДАЧ ШИФРОВАНИЯ

*М.И. Мазурков, А.В. Соколов. Методи синтезу двійкових псевдовипадкових послідовностей з властивістю  $k$ -грамного розподілу для задач шифрування.* Розроблено методи синтезу повного класу двійкових лінійних і нелінійних псевдовипадкових послідовностей з властивістю  $k$ -грамного розподілу, які дозволяють скоротити в чотири рази обсяг пам'яті апаратної реалізації підстановочних конструкцій симетричних блокових шифрів.

*Ключові слова:* шифрування; булеві функції; афінні коди; відстань Хеммінга; відстань нелінійності; циклічний зсув; кореляційна матриця.

*М.И. Мазурков, А.В. Соколов. Методы синтеза двоичных псевдослучайных последовательностей со свойством  $k$ -граммного распределения для задач шифрования.* Разработаны методы синтеза полного класса двоичных линейных и нелинейных псевдослучайных последовательностей со свойством  $k$ -граммного распределения, которые позволяют сократить в четыре раза объем памяти аппаратной реализации подстановочных конструкций симметричных блочных шифров.

*Ключевые слова:* шифрование; булевы функции; аффинные коды; расстояние Хэмминга; расстояние нелинейности; циклический сдвиг; корреляционная матрица.

*M.I. Mazurkov, A.V. Sokolov. Synthesis methods of pseudo-random binary sequences with the property of the  $k$ -gram distribution for encryption tasks.* The synthesis methods of a full class of binary linear and non-linear pseudo-random sequences with the property of a  $k$ -gram distribution are developed which allow a reduction of memory size of block codes substitution constructions hardware realization by a factor of 4.

*Key words:* encryption, Boolean functions, affine codes, Hamming distance, distance of nonlinearity, circular shift, correlation matrix.

Известен синтез подстановочных конструкций современных симметричных блочных шифров —  $S$ -блоков подстановки, и таблиц подстановок [1...3]. Определены критерии криптографической стойкости  $S$ -блоков подстановки: показатель случайности (непредсказуемости), свойство уравновешенности, свойство серий, свойство корреляций [4...6]. Вместе с тем, представляют практический интерес вопросы минимизации объема памяти для хранения таблиц подстановок аппаратных систем шифрования, однако такие исследования проведены недостаточно полно. Ключом к решению данной проблемы может стать использование шумоподобных сигналов —  $Mg$ -последовательностей, также известных как последовательности де Брейна или полные циклы [7].

Двоичная псевдослучайная  $Mg$ -последовательность периода  $N = 2^k$ , со свойством  $k$ -граммного распределения — последовательность, в которой каждая серия из  $k$  бит встречается на замкнутом цикле точно один раз [6].

Вопросы синтеза сигналов, обладающих такими практически привлекательными для задач шифрования свойствами, не нашли своего решения, и требуют дальнейших исследований.

Линейную  $Mg$ -последовательность можно построить на базе  $M$ -последовательности, порождаемой регистром сдвига с обратной связью [4], полученным в соответствии с генератор-

ным полиномом  $\rho(v)$ , степени  $k = \deg\{\rho(v)\}$ , путем добавления нуля к серии бит из  $(k-1)$  нулей. Например, при  $\rho(v) = v^4 + v + 1$ ,  $k = 4$   $Mg$ -последовательность и соответствующая ей десятичная кодирующая  $Q$ -последовательность, имеют вид

$$\begin{aligned} Mg &= [1 \ 1 \ 1 \ 1 \ 0 \ 0 \ 0 \ 0 \ 1 \ 0 \ 0 \ 1 \ 1 \ 0 \ 1 \ 0], \\ Q &= [15 \ 14 \ 12 \ 8 \ 0 \ 1 \ 2 \ 4 \ 9 \ 3 \ 6 \ 13 \ 10 \ 5 \ 11 \ 7]. \end{aligned} \quad (1)$$

Из анализа системы соответствия (1) следует, что каждая  $Mg$ -последовательность полностью определяет структуру и криптографические свойства  $S$ -блока подстановки (рис. 1), где  $\mathbf{X} = \{x_0, x_1, x_2, x_3\}$ ,  $\mathbf{Y} = \{y_0, y_1, y_2, y_3\}$  — векторы элементов, поступающих на вход и снимающихся с выходных линий  $S$ -блока, соответственно. При этом для хранения  $Mg$ -последовательности требуется в четыре раза меньший объем памяти, чем для хранения десятичной кодирующей  $Q$ -последовательности, следовательно, задача построения компактных  $S$ -блоков подстановки (рис. 1) получает принципиально новое решение, которое является особенно перспективным для криптоалгоритма стандарта [8] в виду гибкости выбора таблиц подстановки, предусмотренной последним.

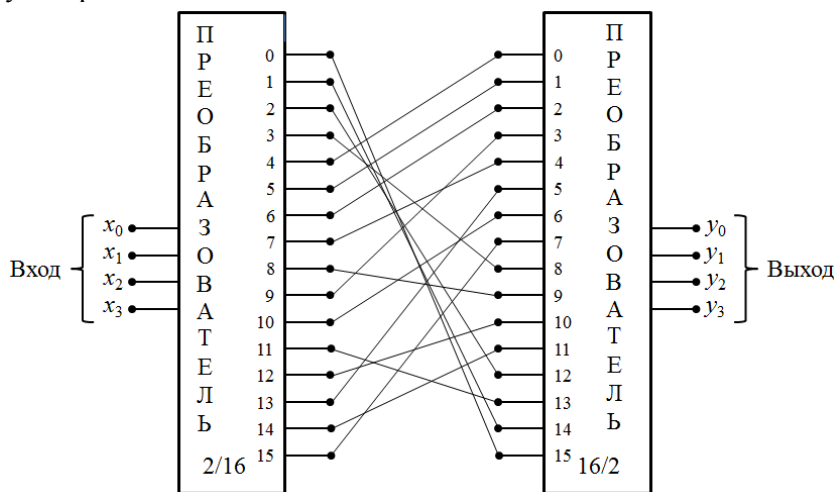


Рис. 1. Структурная схема  $S$ -блока подстановки, соответствующая  $Mg$ ,  $Q$  (1)

Предлагается методология синтеза двоичных псевдослучайных последовательностей со свойством  $k$ -граммного распределения на основе:

- двойного сцепления кортежей векторов (Метод 1);
- учета структурных свойств  $Mg$ -последовательностей (Метод 2);
- целочисленных функций (Метод 3).

**Метод 1.** Пусть  $\mathbf{V}_k = \{\mathbf{A}_i\}$ ,  $i = 0, 2^k - 1$  — линейное векторное пространство двоичных векторов размера  $k$ . Введем операции сцепления каждого вектора  $\mathbf{A}_i = [\alpha_{i,k-1}, \alpha_{i,k-2}, \dots, \alpha_{i,0}]$ , где младший разряд справа.

**Определение 1.1.** Операции сцепления  $S0$  и  $S1$  произвольного вектора  $\mathbf{A}_i \in \mathbf{V}_k$  — сдвиг вектора  $\mathbf{A}_i$  влево на один элемент с последующей конкатенацией, соответственно, символа 0 или символа 1, и получение двоичного вектора размера  $k$ , как это показано с помощью выражений

$$\begin{aligned} \text{Сцепление } S0 & \quad \text{Сцепление } S1 \\ [\alpha_{i,k-2}, \dots, \alpha_{i,0}, 0]; & \quad [\alpha_{i,k-2}, \dots, \alpha_{i,0}, 1] \end{aligned} \quad (2)$$

*Определение 1.2.* Период  $\varepsilon_1$  сцепления вектора  $\mathbf{A}_i$  по горизонтали — это минимальное число последовательных операций сцепления  $S0$ , при которых вектор  $\mathbf{A}_i$  переходит в нулевой, т.е.  $\mathbf{A}_i \rightarrow \bar{0}$ .

*Определение 1.3.* Период  $\varepsilon_2$  сцепления вектора  $\mathbf{A}_i$  по вертикали — это минимальное число последовательных операций сцепления  $S1$ , при которых вектор  $\mathbf{A}_i$  переходит в единичный, т.е.  $\mathbf{A}_i \rightarrow \bar{1}$ .

На основе принятых определений установлены свойства операторов  $S0$  и  $S1$ :

*Свойство 1.1.* Все четные векторы  $\mathbf{A}_\gamma$ ,  $\gamma = 2i$  имеют максимальный период сцепления по вертикали  $\varepsilon_2 = k + 1$ , и, следовательно, образуют вертикальный кортеж  $\mathbf{C} = [\mathbf{A}_\gamma^{S0_{\varepsilon_2}}, \mathbf{A}_\gamma^{S0_{\varepsilon_2-1}}, \dots, \mathbf{A}_\gamma^{S0_1}]^T$ , где  $\mathbf{A}_\gamma^{S0_1}$  —  $\varepsilon_2$  последовательных операций сцепления  $S0$  вектора  $\mathbf{A}_\gamma$ ,  $T$  — оператор транспонирования. Каждый вектор полученного кортежа  $\mathbf{C}$  с помощью оператора  $S0$  образует свой горизонтальный кортеж  $\mathbf{D}_u = [\mathbf{C}_u^{S1_1}, \dots, \mathbf{C}_u^{S1_{\varepsilon_1-1}}, \mathbf{C}_u^{S1_{\varepsilon_1}}]$ , где  $\mathbf{C}_u^{S1_1}$  —  $\varepsilon_1$  последовательных операций сцепления  $S1$  вектора  $\mathbf{C}_u$ ,  $u = \overline{1, \varepsilon_2}$ . Пусть множество всех построенных таким образом кортежей  $\mathbf{C}$  и  $\mathbf{D}_u$  образует хранилище кортежей вектора  $\mathbf{A}_i$ . Пару четных векторов  $\{\mathbf{A}_\gamma, \mathbf{A}_{\gamma+2^{k-1}}\}$ ,  $i = \overline{0, 2^{k-2} - 1}$  назовем образующей. Ясно, что число таких пар

$$p = 2^{k-2}, k = 3, 4, 5, \dots \quad (3)$$

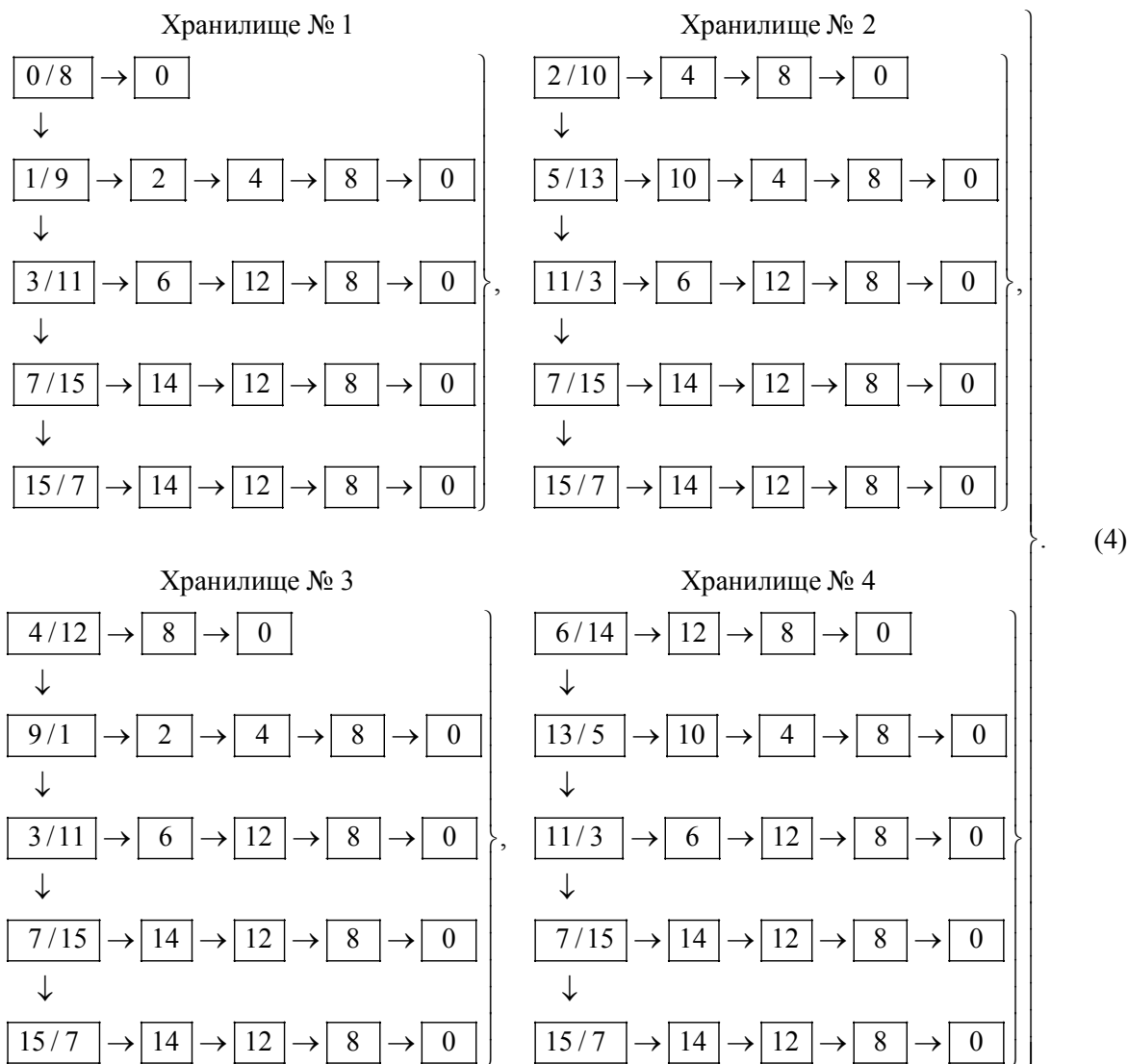
определяет число хранилищ для данного значения размерности  $k$ .

*Свойство 1.2.* Каждый образующий вектор из данной образующей пары формирует на основе операций сцепления  $S0$  и  $S1$  тождественно равные множества кортежей  $\mathbf{C}$  и  $\mathbf{D}_u$ , т.е. тождественно равные хранилища кортежей, соответственно.

Построение ансамблей линейных и нелинейных  $Mg$ -последовательностей максимального периода  $N = 2^k$  сводится к реализации метода двойного сцепления: сцепления между векторами (для формирования всех кортежей векторов в рамках каждого хранилища) и между хранилищами (для сцепления подходящих кортежей), при этом в каждое хранилище следует входить только один раз. Выбранный на данной итерации кортеж векторов назовем подходящим, если он заканчивается одним из образующих векторов другого хранилища.

Для сокращения записи и большей наглядности изложения каждый вектор  $\mathbf{A}_i$  представляется своим номером  $i$ . Технические детали конструктивного правила построения  $Mg$ -последовательностей, со свойством  $k$ -граммного распределения, представим в виде шагов с конкретными примерами:

*Шаг 1.1.* Для заданного значения  $k$  построить  $p = 2^{k-2}$  хранилищ кортежей векторов. Например, для  $k = 4$  соответствующие множества кортежей и хранилища представлены в виде сформированной на основе операторов  $S0$  и  $S1$  алгебраической конструкции



*Шаг 1.2.* В качестве первого хранилища для построения кортежей максимального периода  $N$  фиксируется Хранилище № 1. Перебирая всевозможные структуры кортежей и учитывая их связи между хранилищами, можно найти множество опорных кодирующих последовательностей  $Q_i$ , каждая максимального периода  $N = 16$  (табл. 1).

Таблица 1

Множество кодирующих  $Q$ -последовательностей

$Q_i$	Элементы кодирующей $Q_i$ -последовательностей, $N = 16$															
$Q_1$	0	1	2	4	9	3	6	13	10	5	11	7	15	14	12	8
$Q_2$	0	1	2	4	9	3	7	15	14	13	10	5	11	6	12	8
$Q_3$	0	1	2	5	10	4	9	3	6	13	11	7	15	14	12	8
$Q_4$	0	1	2	5	10	4	9	3	7	15	14	13	11	6	12	8
$Q_5$	0	1	2	5	11	6	12	9	3	7	15	14	13	10	4	8
$Q_6$	0	1	2	5	11	6	13	10	4	9	3	7	15	14	12	8
$Q_7$	0	1	2	5	11	7	15	14	12	9	3	6	13	10	4	8

$Q_i$	Элементы кодирующей $Q_i$ -последовательностей, $N = 16$															
$Q_8$	0	1	2	5	11	7	15	14	13	10	4	9	3	6	12	8
$Q_9$	0	1	3	6	12	9	2	5	11	7	15	14	13	10	4	8
$Q_{10}$	0	1	3	6	13	10	4	9	2	5	11	7	15	14	12	8
$Q_{11}$	0	1	3	6	13	10	5	11	7	15	14	12	9	2	4	8
$Q_{12}$	0	1	3	6	13	11	7	15	14	12	9	2	5	10	4	8
$Q_{13}$	0	1	3	7	15	14	12	9	2	5	11	6	13	10	4	8
$Q_{14}$	0	1	3	7	15	14	13	10	4	9	2	5	11	6	12	8
$Q_{15}$	0	1	3	7	15	14	13	10	5	11	6	12	9	2	4	8
$Q_{16}$	0	1	3	7	15	14	13	11	6	12	9	2	5	10	4	8

Другие кодирующие последовательности получим путем всех циклических сдвигов каждой образующей  $Q_i$ -последовательности.

*Шаг 1.3.* В соответствии с системой (1) строится полное множество  $Mg_j$ -последовательностей,  $j = \overline{1,256}$ , линейных и нелинейных. Например, на основе данных таблицы 1 строится в порядке возрастания множество всех образующих  $Mg_g$ -последовательностей,  $g = \overline{1,16}$ , каждая со свойством  $k$ -граммного распределения, рядом с ней проставлен десятичный эквивалент  $(Mg_g)_{10}$ .

$$G = \left[ \begin{array}{l} Mg_1 = [0 \ 0 \ 0 \ 0 \ 1 \ 0 \ 0 \ 1 \ 1 \ 0 \ 1 \ 0 \ 1 \ 1 \ 1 \ 1], \quad (Mg_1)_{10} = \mathbf{2479} \\ Mg_2 = [0 \ 0 \ 0 \ 0 \ 1 \ 0 \ 0 \ 1 \ 1 \ 1 \ 1 \ 0 \ 1 \ 0 \ 1 \ 1], \quad (Mg_2)_{10} = 2539 \\ Mg_3 = [0 \ 0 \ 0 \ 0 \ 1 \ 0 \ 1 \ 0 \ 0 \ 1 \ 1 \ 0 \ 1 \ 1 \ 1 \ 1], \quad (Mg_3)_{10} = 2671 \\ Mg_4 = [0 \ 0 \ 0 \ 0 \ 1 \ 0 \ 1 \ 0 \ 0 \ 1 \ 1 \ 1 \ 1 \ 0 \ 1 \ 1], \quad (Mg_4)_{10} = 2683 \\ Mg_5 = [0 \ 0 \ 0 \ 0 \ 1 \ 0 \ 1 \ 1 \ 0 \ 0 \ 1 \ 1 \ 1 \ 1 \ 0 \ 1], \quad (Mg_5)_{10} = 2877 \\ Mg_6 = [0 \ 0 \ 0 \ 0 \ 1 \ 0 \ 1 \ 1 \ 0 \ 1 \ 0 \ 0 \ 1 \ 1 \ 1 \ 1], \quad (Mg_6)_{10} = 2927 \\ Mg_7 = [0 \ 0 \ 0 \ 0 \ 1 \ 0 \ 1 \ 1 \ 1 \ 1 \ 0 \ 0 \ 1 \ 1 \ 0 \ 1], \quad (Mg_7)_{10} = 3031 \\ Mg_8 = [0 \ 0 \ 0 \ 0 \ 1 \ 0 \ 1 \ 1 \ 1 \ 1 \ 0 \ 1 \ 0 \ 0 \ 1 \ 1], \quad (Mg_8)_{10} = 3027 \\ Mg_9 = [0 \ 0 \ 0 \ 0 \ 1 \ 1 \ 0 \ 0 \ 1 \ 0 \ 1 \ 1 \ 1 \ 1 \ 0 \ 1], \quad (Mg_9)_{10} = 3261 \\ Mg_{10} = [0 \ 0 \ 0 \ 0 \ 1 \ 1 \ 0 \ 1 \ 0 \ 0 \ 1 \ 0 \ 1 \ 1 \ 1 \ 1], \quad (Mg_{10})_{10} = 3375 \\ Mg_{11} = [0 \ 0 \ 0 \ 0 \ 1 \ 1 \ 0 \ 1 \ 0 \ 1 \ 1 \ 1 \ 1 \ 0 \ 0 \ 1], \quad (Mg_{11})_{10} = 3449 \\ Mg_{12} = [0 \ 0 \ 0 \ 0 \ 1 \ 1 \ 0 \ 1 \ 1 \ 1 \ 1 \ 0 \ 0 \ 1 \ 0 \ 1], \quad (Mg_{12})_{10} = 3557 \\ Mg_{13} = [0 \ 0 \ 0 \ 0 \ 1 \ 1 \ 1 \ 1 \ 0 \ 0 \ 1 \ 0 \ 1 \ 1 \ 0 \ 1], \quad (Mg_{13})_{10} = \mathbf{3885} \\ Mg_{14} = [0 \ 0 \ 0 \ 0 \ 1 \ 1 \ 1 \ 1 \ 0 \ 1 \ 0 \ 0 \ 1 \ 0 \ 1 \ 1], \quad (Mg_{14})_{10} = 3915 \\ Mg_{15} = [0 \ 0 \ 0 \ 0 \ 1 \ 1 \ 1 \ 1 \ 0 \ 1 \ 0 \ 1 \ 1 \ 0 \ 0 \ 1], \quad (Mg_{15})_{10} = 3929 \\ Mg_{16} = [0 \ 0 \ 0 \ 0 \ 1 \ 1 \ 1 \ 1 \ 0 \ 1 \ 1 \ 0 \ 0 \ 1 \ 0 \ 1], \quad (Mg_{16})_{10} = 3941 \end{array} \right. \quad (5)$$

Линейные  $Mg_1$  и  $Mg_{13}$ -последовательности, которые могут быть построены на базе  $M$ -последовательностей, отмечены жирным шрифтом своих десятичных эквивалентов. Уже при  $k > 4$  Метод 1 довольно трудоемкий, поскольку, по сути, сводится к перебору всех воз-

можных комбинаций кортежей в хранилищах. Расчет  $Mg$ -последовательностей длины 32 бита на эталонном компьютере проводился более 10-ти часов.

Для сокращения объема вычислений предлагается метод синтеза  $Mg$ -последовательностей, учитывающий их структурные свойства.

**Метод 2.** Применение метода перебора всего множества неприемлемо из-за объема исследуемого множества даже при сравнительно небольших значениях  $k$ . Для сокращения объема вычислений вводится тестирование текущей перебираемой последовательности  $T_i$  на соответствие структурным свойствам  $Mg$ -последовательностей. Последовательность  $T_i$  представляется в виде десятичного числа — ее номера  $(T_i)_{10}$ , и в виде  $N$ -разрядного двоичного вектора  $(\mathbf{T}_i)_2 = \{t_{2^k}, t_{2^k-1}, \dots, t_0\}$ , т.е.

$$T_i = (T_i)_{10} = (\mathbf{T}_i)_2, \quad i = \overline{0, 2^{k-1} - 1}, \quad (6)$$

где  $i = \overline{0, 2^k}$  — переменная цикла поиска. Причем вторая половина последовательностей из полного множества  $T_i$  инверсна первой и, следовательно, перебор можно сократить в два раза, приняв  $i = \overline{0, (2^N/2)}$ .

Полученные на основе Метода 1 результаты синтеза  $Mg$ -последовательностей позволяют сформулировать ряд общих свойств.

*Свойство 2.1.* Свойство сбалансированности. Для каждой  $Mg$ -последовательности выполняется свойство сбалансированности  $K^{(1)} = K^{(0)} = N/2$ , где  $K^{(1)}$  и  $K^{(0)}$  соответственно число символов "1" и число символов "0" на максимальном периоде  $N$   $Mg$ -последовательности. Следовательно, тестированию должны подвергаться только последовательности  $T_i$ , удовлетворяющие свойству 2.1.

*Свойство 2.2.* Свойство  $k$ -граммного распределения. В тестируемой последовательности  $T_i$  содержатся блоки из одних нулей или из одних единиц размера  $k \leq \log_2 N$ , иначе она не рассматривается.

*Свойство 2.3.* Все образующие  $Mg$ -последовательности имеют нечетный десятичный эквивалент, вида

$$(Mg_{\text{образующая}})_{10} = 2\lambda + 1, \quad \lambda \in \mathbb{Z}, \quad (7)$$

следовательно, переменную цикла поиска  $i$  можно изменять с шагом  $step = 2$ , что также сокращает перебор в два раза.

*Свойство 2.4.* Десятичный эквивалент первой  $Mg$ -последовательности должен быть выше минимального значения ее номера

$$(T_{\min})_{10} = 2^{N-k-1} + 2^{N-2k} + 1, \quad N = 2^k, \quad (8)$$

т.е. следует начинать перебор с минимального значения номера  $(T_i)_{10} \geq (T_{\min})_{10}$  тестируемой последовательности  $T_i$ . Этот результат следует из утверждений Метода 1.

*Свойство 2.5.* Десятичный эквивалент последней тестируемой  $Mg$ -последовательности должен быть ниже максимального значения номера

$$(T_{\max})_{10} \leq (T_{\min})_{10} + 2^{N-k-1}, \quad (9)$$

поскольку все  $Mg_i$ -последовательности, расположенные после данного десятичного эквивалента, будут совпадать с ранее найденными с точностью до циклического сдвига.

Структурные свойства двоичной (эквивалентной бинарной) последовательности часто описывают с помощью количества входящих в нее блоков, где блок — последовательность одинаковых символов [11].

*Свойство 2.6.* Каждая  $Mg$ -последовательность содержит оптимальное количество блоков символов, которым в соответствии с гипотезой Л.Е. Варакина [11] обладают только последовательности с незначительными пиками автокорреляционных функций,

$$\mu_{opt} = N / 2 . \tag{10}$$

На основании свойств 2.1...2.5 разработан метод, эффективный для поиска полного множества образующих  $Mg$ -последовательностей со свойством  $k$ -граммного распределения, что позволило существенно сократить время вычислений. Например, время поиска полного класса  $Mg$ -последовательностей длины  $N = 32$  сократилось до трех минут, вместо 10 часов, как в Методе 1.

**Метод 3.** В основе метода лежит эвристический подход к синтезу образующих  $Mg$ -последовательностей на основе свойств специальных целочисленных функций. В теории клеточных автоматов часто используется функция целочисленного аргумента вида  $\xi(n) = \text{XOR}\{n, 2n\}$  [10], которая вычисляется как поэлементная сумма по модулю двух чисел:  $n$  и  $2n$ , представленных своими двоичными векторами. Поскольку десятичный эквивалент каждой образующей  $Mg$ -последовательности — число нечетное, то проводится модификация функции  $\xi(n)$  так, чтобы она генерировала множество нечетных чисел, т.е. построится целочисленная функция

$$\psi(h) = \text{XOR}\{2h+1, 2(2h+1)\}, \quad h = \overline{1, 2^k - 1} . \tag{11}$$

Проведенные исследования позволили установить ряд свойств этой функции.

*Свойство 3.1.* Целочисленная функция  $\psi(h)$  является симметрической относительно аргумента  $h = 2^{k-1}$ , т.е.

$$\psi(h) = f(h + 2^{k-1}), \quad h = \overline{1, 2^k - 1} . \tag{12}$$

*Свойство 3.2.* Область поиска десятичных эквивалентов на основе целочисленной функции сокращается в два раза, по сравнению с Методом 2, при этом в области поиска всегда сохраняются все десятичные эквиваленты образующих  $Mg$ -последовательностей.

В качестве иллюстрации этих свойств приведены столбцовые диаграммы целочисленной функции  $\psi(h)$  (рис. 2).

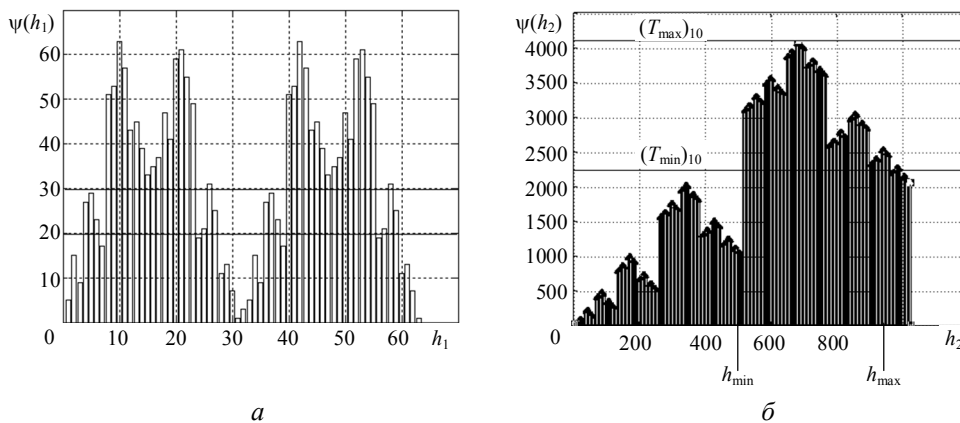


Рис. 2. Столбцовые диаграммы целочисленной функции:  $\psi(h_1) \bmod 2^6, h_1 = \overline{0, 64}$  (а);

$$\psi(h_2) \bmod 2^{16}, h_2 = \overline{0, 1024}$$

Алгоритм поиска  $Mg$ -последовательностей на основе целочисленной функции (12) по методу 3 состоит из двух шагов:

— для поиска всех образующих  $Mg$ -последовательностей по Методу 2 по известным минимальному и максимальному значениям номера  $(T_{\min})_{10}$ ,  $(T_{\max})_{10}$ , необходимому и достаточному числу итераций  $\Delta_2 = [(i_{\max})_{10} - (i_{\min})_{10}] / 2$ , найти границы изменения  $h_{\min}$  и  $h_{\max}$  переменной целочисленной функции (11) и число итераций для поиска этих же образующих  $Mg$ -последовательностей по Методу 3, из уравнений

$$i_{\min} = \psi(h_{\min}), \quad i_{\max} = \psi(h_{\max}), \quad \Delta_3 = h_{\max} - h_{\min}; \quad (13)$$

— построить множество значений целочисленной функции  $\psi(h)$  в диапазоне  $\Delta_3$ , и отобрать методом проб значения, которые соответствуют десятичным эквивалентам  $Mg$ -последовательностей.

Проиллюстрируем приведенный метод синтеза конкретным примером, осуществив поиск образующих  $Mg$ -последовательностей длины  $N = 16$  бит. По Методу 1 проведена оценка верхней и нижней границ области поиска  $Mg$ -последовательностей

$$\begin{cases} Mg_1 > \{00001001 \ 00000001\}_2 = 2305_{10} = i_{\min}; \\ Mg_{16} < \{00001111 \ 11111111\}_2 = 4095_{10} = i_{\max}. \end{cases} \quad (14)$$

Из соотношения (13) и данных рисунка 2 определяется  $\Delta_3 = 959 - 512 = 450$  итераций. Получены значения аргументов  $h$  и целочисленной функции  $\psi(h)$ , соответствующие всему классу образующих  $Mg$ -последовательностей длины 16 бит (табл. 2).

Таблица 2

Соответствие значений целочисленной функции  $\psi(h)$  классу  $Mg$ -последовательностей

Значения аргумента	$h$	565	593	619	626	653	657	667	668
Значения целочисленной функции	$\psi(h)$	3261	3557	3449	3375	3885	3941	3929	3915
<b>Образующая</b> $Mg$ -последовательность	$Mg_i$	$Mg_9$	$Mg_{12}$	$Mg_{11}$	$Mg_{10}$	$Mg_{13}$	$Mg_{16}$	$Mg_{15}$	$Mg_{14}$
Значения аргумента	$h$	768	788	856	861	866	885	940	946
Значения целочисленной функции	$\psi(h)$	2671	2683	3027	3021	2895	2877	2539	2479
<b>Образующая</b> $Mg$ -последовательность	$Mg_i$	$Mg_3$	$Mg_4$	$Mg_8$	$Mg_7$	$Mg_6$	$Mg_5$	$Mg_2$	$Mg_1$

Одной из важнейших криптографических характеристик  $S$ -блока подстановки является его расстояние нелинейности  $d_S$ , определяемое как минимальное расстояние (dist) Хэмминга между каждой компонентной булевой функцией  $f_i(X)$ , представленной в алгебраически нормальной форме, и всеми кодовыми словами аффинного  $A(N, k)$ -кода [3,5,9]

$$d_S = \min \{ \text{dist}(f_i, \varphi_j) \}, \quad i = \overline{1, k}, \quad j = \overline{1, 2^k}, \quad (15)$$

где  $f_i$  — булева функция,

$\varphi_j$  — кодовые слова аффинного  $A(N, k)$ -кода.

Другой весьма распространенный критерий качества  $S$ -блока подстановки — каждый бит выходного вектора  $y_j$  является статистически независимым от каждого бита входного вектора  $x_i$ . Количественно степень линейной статистической (корреляционной) связи между выходны-

ми и входными битами описывают с помощью корреляционной матрицы  $\mathbf{R} = \|r_{i,j}\|$ ,  $i, j = \overline{0, k-1}$ , где коэффициенты корреляции

$$r_{i,j} = 1 - \frac{\sum_{m=1}^N (x_{m,i} \oplus y_{m,j})}{N/2}, \quad i, j = \overline{0, k-1}. \quad (16)$$

Минимаксное по модулю значение коэффициента  $|r_{\min \max}| \leq 0,25$ , или отсутствие корреляции между битами выхода и входа ( $r_{i,j} = 0$ ), считается хорошим качеством шифра [3, 5]. Результаты проведенных исследований позволили выявить экономичные  $S$ -блоки подстановки с (наилучшими) минимаксными показателями (15) и (16) (табл. 3).

Таблица 3

Криптографические свойства экономичных  $S$ -блоков

Период $N = 2^k$	Объем класса $W = 2^{N/2}$	Минимаксные параметры		Количество $J$ минимаксных $S$ -блоков
		$d_S$	$ r_{\min \max} $	
16	256	4,6	0,25	195
32	65536	12	0,125	379

Например, последовательность вида  $Mg = [0\ 0\ 0\ 0\ 1\ 1\ 0\ 1\ 0\ 1\ 1\ 1\ 1\ 0\ 0\ 1]$  является минимаксной и обеспечивает построение  $S$ -блока подстановки с минимаксной корреляционной матрицей

$$\mathbf{R} = \begin{bmatrix} 0,2500 & 0,2500 & 0 & -0,2500 \\ 0,2500 & -0,2500 & -0,2500 & 0 \\ 0 & 0,2500 & 0 & -0,2500 \\ 0,2500 & -0,2500 & 0,2500 & -0,2500 \end{bmatrix}, \quad |r_{\min \max}| = 0,25. \quad (17)$$

Каждая последовательность, полученная из данной путем циклического сдвига влево, например, на заданную величину  $\tau = \{0, 6, 7, 8, 14, 15\}$ , обеспечивает построение  $S$ -блока подстановки с минимаксной корреляционной матрицей, подобной (17). Минимаксные  $Mg$ -последовательности длины  $N = 32$  обеспечивают построение  $S$ -блоков подстановки с параметром  $|r_{\min \max}| = 0,125$ .

Основные результаты проведенных исследований:

— разработана методология синтеза полного класса алгебраических конструкций — двоичных  $Mg$ -последовательностей со свойством  $k$ -граммного распределения, что позволяет в четыре раза сократить объем памяти аппаратных устройств хранения таблицы подстановки шифров, особенно криптоалгоритмов ГОСТ 28147-89;

— установлено, что  $S$ -блоки подстановки на основе  $Mg$ -последовательностей обладают практически привлекательными структурными и криптографическими свойствами, так большинство  $S$ -блоков подстановки длины  $N = 16$  имеют следующие параметры: максимальный по модулю коэффициент корреляции между выходными и входными векторами данных  $0,25 \leq r_{\max} \leq 0,5$ ; расстояние нелинейности  $S$ -блоков  $2 \leq d_S \leq 6$ ; при этом с ростом криптографические свойства  $S$ -блоков существенно улучшаются;

— исследованы периодические и аperiodические корреляционные свойства  $Mg$ -последовательностей и сделан вывод, что гипотеза об оптимальном числе блоков символов

минимаксных сигналов справедлива только по отношению к линейному подклассу  $Mg$ -последовательностей.

Полученные результаты свидетельствуют также о том, что криптоалгоритм ГОСТ 28147-89 имеет большие потенциальные возможности как в плане уменьшения аппаратной сложности, так и в плане увеличения практической защищенности.

### Литература

1. Рябко, Б.Я. Основы современной криптографии и стеганографии / Б.Я. Рябко, А.Н. Фионов. — М.: Горячая линия — Телеком, 2010. — 232 с.
2. Скляр, Б. Цифровая связь. Теоретические основы и практическое применение / Б. Скляр. — Изд. 2-е, испр.: Пер. с англ. — М.: Изд. дом “Вильямс”, 2003. — 1104 с.
3. Мазурков, М.И. Трехуровневая криптографическая система блочного шифрования данных / М.И. Мазурков, В.Я. Чечельницкий., К.К. Некрасов // Изв. вузов. Радиоэлектроника. — 2010. — Т. 57, № 7. — С. 43 — 47.
4. Мазурков, М.И. Основы теорії передавання інформації / М.И. Мазурков. — Одеса: Наука і техніка, 2005. — 168 с.
5. Сергиенко, Р.В. Исследование криптографических свойств нелинейных узлов замен алгоритма симметричного шифрования ГОСТ 28147-89 / Р.В. Сергиенко, И.В. Москвиченко // Харьковск. ун-т воздушн. сил им. Ивана Кожедуба, Системы обработки информации. — Харьков, 2007. — № 8(66). — С. 91 — 95.
6. Knuth, D. The Art of Computer Programming. Vol. II. Seminumerical Algorithms / D. Knuth — USA, Commonwealth of Massachusetts: Addison — Wesley. — 1969. — P. 634.
7. De Bruijn, N.G. A combinatorial problem / N.G. de Bruijn // Nederl. Akad. Wetensch. Proc. — 1946. — Vol. 49. — P. 758—764.
8. ГОСТ 28147-89. Системы обработки информации. Криптографическая защита. Алгоритм криптографического преобразования. — М: Изд-во стандартов, 1990. — 28 с.
9. Варакин, Л.Е. Системы связи с шумоподобными сигналами / Л.Е. Варакин. — М.: Радио и связь, 1985. — 384 с.
10. OEIS. A048724. — Antti Karttunen, 1999 // <http://oeis.org/A048724> . — 7.01.12
11. Горбенко, І.Д. Дослідження аналітичних і статистичних властивостей булевих функцій криптоалгоритму RIINDAEL (FIPS 197) / І.Д. Горбенко, О.В. Потій, Ю.А. Ізбенко // Всеукр. міжвід. на-ук.-техн. зб. “Радіотехніка”. — Харків, 2004. — Т. 126. — С. 132 — 138.

### References

1. Ryabko, B.Ya. Osnovy sovremennoy kriptografii i steganografii [Foundations of Modern Cryptography and Steganography] / B.Ya. Ryabko, A.N. Fionov. — Moscow, 2010. — 232 p.
2. Sklyar, B. Tsifrovaya svyaz'. Teoreticheskie osnovy i prakticheskoe primenenie [Digital Communications. The Theoretical Basics and Practical Application] / B. Sklyar. — 2<sup>nd</sup> ed., rev.: Transl. from English. — Moscow, 2003. — 1104 p.
3. Mazurkov, M.I. Trekhurovnevaya kriptograficheskaya sistema blochnogo shifrovaniya dannykh [Three-Level Cryptographic System of Block Data Encryption] / M.I. Mazurkov, V.Ya. Chechelnickey., K.K. Nekrasov // Universities information. Electronics. — 2010. — Vol. 57. — #7. — pp. 43 — 47.
4. Mazurkov, M.I. Osnovy teorii peredavannia informatsii [Basics of Information Transfer Theory] / M.I. Mazurkov. — Odesa, 2005. — 168 p.
5. Sergienko, R.V. Issledovanie kriptograficheskikh svoystv nelineynykh uzlov zamen algoritma simmetrichnogo shifrovaniya GOST 28147-89 [Investigation of Nonlinear Properties of the Cryptographic Substitutions Units of the Symmetric Algorithm GOST 28147-89] / R.V. Sergienko, I.V. Moskvichenko // Kharkov. Univ. of air. forces of Ivan Kozhedub, Information processing systems. — Khar'kov, 2007. — # 8 (66). — pp. 91 — 95.
6. Knuth D. The Art of Computer Programming. Vol. II. Seminumerical Algorithms / D. Knuth — USA, Commonwealth of Massachusetts: Addison-Wesley. — 1969. — p. 634.
7. De Bruijn N.G. A Combinatorial Problem // Nederl. Akad. Wetensch. Proc. — 1946. — Vol. 49. — pp. 758 — 764.
8. GOST 28147-89. Sistemy obrabotki informatsii. Kriptograficheskaya zashchita. Algoritm kriptograficheskogo preobrazovaniya [Information Processing Systems. Cryptographic Protection. The Algorithm of Cryptographic Transform]. — Moscow, 1990. — 28 p.
9. Varakin, L. Sistemy svyazi s shumopodobnymi signalami [Communication Systems with Noise-Like Signals]. — Moscow, 1985. — 384 p.
10. OEIS. A048724. — Antti Karttunen, 1999 // <http://oeis.org/A048724> . — 7.01.12

- 
11. Horbenko, I.D. Doslidzhennia analitychnykh i statystychnykh vlastyvoitei bulevykh funktsii kryptoalghorytmu RIJNDAEL (FIPS 197) [Investigation of Analytical and Statistical Properties of Boolean Functions of Cryptographic Algorithm RIJNDAEL (FIPS 197)] / I.D. Horbenko, O.V. Potii, Yu.A. Izbenko // All-Ukrainian interdepartmental scientific and technical collection "Radio" — Kharkiv, 2004. — Volume 126. — pp. 132 — 138.

Рецензент д-р техн. наук, доц. Одес. нац. екон. ун-та Скопа А.А.

Поступила в редакцію 19 декабря 2011 г.